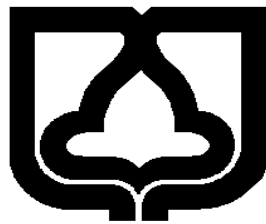


بِسْمِ اللّٰهِ الرَّحْمٰنِ الرَّحِيْمِ



دانشگاه سمنان

دانشکده مهندسی عمران

پایان نامه برای دریافت درجه کارشناسی ارشد

در رشته مهندسی عمران گرایش سازه

بررسی مقایسه ای و ارائه مدل اجرائی نوین میانقاب ساختمانی جاذب انرژی لرزه ای

استاد راهنما:

دکتر امید رضایی فر

استاد مشاور:

مهندس سیف الله همتی

آذرنگ جواهری

1392 اسفندماه



دانشگاه سمنان

دانشکده مهندسی عمران

صور تجلیسه دفاعیه پایان نامه کارشناسی ارشد

پایان نامه خانم آذرنگ جواهری برای اخذ درجه کارشناسی ارشد مهندسی عمران - گرایش سازه تحت عنوان "بررسی مقایسه ای و ارائه مدل اجرائی نوین میانقاب ساختمانی جاذب انرژی لرزه ای" در جلسه مورخ 92/12/12 بررسی و با نمره

	عدد
	حروف

مورد تایید قرار گرفت.

اعضاي هيئت داوران:

امضاء: استاد راهنمای اول:

امضاء: استاد مشاور اول:

امضاء: استاد داور:

امضاء: استاد داور:

مدیر تحصیلات تکمیلی دانشکده: امضاء:



دانشگاه سمنان

دانشکده مهندسی عمران

اینجانب آذرنگ جواهری متعدد می شوم که محتوای علمی این نوشتار با عنوان " بررسی مقایسه ای و ارائه مدل اجرائی نوین میانقاب ساختمانی جاذب انرژی لرزه ای " که به عنوان پایان نامه کارشناسی ارشد رشته مهندسی عمران گرایش سازه به دانشگاه ارائه شده است، دارای اصالت پژوهشی بوده و حاصل فعالیت‌های علمی اینجانب می باشد.

در صورتی که خلاف ادعای فوق در هر زمانی محرز شود، کلیه حقوق معنوی متعلق به این پایان نامه از اینجانب سلب شده و موارد قانونی مترتب به آن نیز از طرف مراجع قابل پیگیری است.

نام و نام خانوادگی: آذرنگ جواهری

شماره دانشجویی: 9011149025

امضاء



پژوهشگاه فناوری های نوین مهندسی عمران
دانشگاه سمنان

پایان نامه های تحت حمایت پژوهشکده فناوری های نوین مهندسی عمران دانشگاه سمنان

این پایان نامه تحت حمایت پژوهشکده فناوری های نوین نوین مهندسی عمران و در قالب گروه پژوهشی:

■ روش های اجرایی نوین مهندسی عمران

□ مصالح نوین مهندسی عمران

□ سیستم های نوین ساخت

□ روشهای تحلیل نوین در مهندسی عمران

ارائه شده است.

امضای رئیس پژوهشکده

امضای مدیر گروه پژوهشی

مجوز بهرهبرداری از پایان نامه

بهرهبرداری از این پایان نامه در چهار چوب مقررات کتابخانه و با توجه به محدودیتی که توسط استاد راهنمای به شرح زیر تعیین می‌شود، بلامانع است:

- بهرهبرداری از این پایان نامه برای همگان با ذکر مرجع بلامانع است.
- بهرهبرداری از این پایان نامه با اخذ مجوز از استاد راهنمای با ذکر مرجع بلامانع است.
- بهرهبرداری از این پایان نامه تا تاریخ ممنوع است.

نام استاد یا استادید راهنمای:

تاریخ:

امضاء:

تقدیم:

به سایه سارِ سبز و پُر مهرِ پدر
به نگاهِ مادر
پر امید، پر از شور
پر زِ زیبایی
جاودان باد مرا لذت با هم بودن

قدردانی:

از اساتید گرامیم به ویژه استاد ارجمند جناب آقای "دکترامید رضایی فر" بسیار سپاسگزارم چرا که بدون راهنماییهای ایشان تامین این پایان نامه بسیار مشکل می‌نمود.

من به سرچشمہ ی خورشید نه خود بردم راه
ذره‌ای بودم و مهر تو مرا بالا برد

چکیده

با توجه به لرژه خیزی کشور و اهمیت وجود میانقابها در ساختمان، می باشیستی نسبت به تاثیر میانقابها در ساختمانها توجه شود. به طور کلی میانقابها باعث افزایش سختی، کوتاه شدن دوره تناوب سازه و جذب نیروهای بالای زلزله خواهند شد. مدلسازی میانقابها در سازه، جداسازی آنها از اسکلت سازه و استفاده از میانقابهای انعطاف پذیر و جاذب انرژی راهکارهایی جهت در نظر گرفتن آنها در سازه می باشد.

از این رو در این پایان نامه به بررسی رفتار نوعی میانقاب جدید پرداخته شده که از پروفیل های ناودانی گالوانیزه در ساخت آن استفاده شده است. این میانقاب ساختاری شبکه ای دارد که المانهای ناودانی با اتصال مفصلی به یکدیگر متصل شده اند. المانها در محل تقاطع از روی هم رد شده و هیچگونه قطعی در آن ناحیه وجود ندارد. میانقاب مذکور ضمن سبک بودن رفتار مناسبی در برابر زلزله دارد و می تواند نقش میراگر را در ساختمان ایفا کند. چهار میانقاب از این نوع در ابعادی با طول متغیر از 270 تا 450 سانتیمتر و ارتفاع متغیر از 360 تا 810 سانتیمتر مورد بررسی قرار گرفته اند. رفتار واقعی تمامی مدلها در نرم افزار Opensees، تحت تحلیل استاتیکی غیرخطی و با اعمال بارگذاری رفت و برگشتی بر اساس آیین نامه ای ATC24 و رسیدن به منحنی های پوش آور و هیسترزیس آنها بدست آمده است.

نتایج بدست آمده نشان می دهد که افزایش ضخامت المانهای ناودانی از 0.6 به 0.8 میلیمتر باعث افزایش 27٪ مقاومت، افزایش 25٪ استهلاک انرژی، کاهش 22٪ ضریب رفتار شده و شکل پذیری را تنها 7٪ کاهش می دهد. منحنی هیسترزیس قابها، چرخه های پایداری را نشان می دهد که میزان اتلاف انرژی در زاویه 60 درجه نسبت به زاویه 30 درجه بسیار بیشتر بوده و نسبت به زاویه 45 درجه این میزان افزایش کمتر می باشد. بنابراین نتایج، برای زوایای کمتر از 45 درجه قابها عملکرد مناسبی ندارند که به علت زیاد شدن طول المانها می باشد. مقدار ضریب رفتار برای این قابها در حدود 10 تا 13 بوده و شکل پذیری خوب قابها را نشان می دهد.

واژه های کلیدی: میانقاب ساختمانی جدید، فولاد گالوانیزه، نرم افزار Opensees، تحلیل پوش آور و تحلیل غیر خطی با اعمال بار رفت و برگشتی طبق ATC24

فهرست مطالب

1	1- مقدمه
2	1-1- مقدمه
3	1-2- بیان مسئله تحقیق
4	1-3- اهمیت و ضرورت انجام تحقیق
5	1-4- نوآوری تحقیق
5	1-5- اهداف تحقیق
5	1-6- فرضیات تحقیق و محدودیتها
6	1-7- روش شناسی تحقیق (methodology)
6	1-8- ساختار فصول پایان نامه
8	2- مرواری بر منابع
9	2-1- مقدمه
10	2-1-1- رفتار عمومی لرزه‌ای قابهای دارای میانقاب
11	2-1-2- حالتهای شکست میانقاب
12	2-2- میانقاب آجری
12	2-2-1- بررسی رفتار آزمایشگاهی قاب بتنی با میانقاب آجری
16	2-2-2- بررسی رفتار تحلیلی قاب بتنی با میانقاب آجری
20	2-2-3- ارزیابی رفتار لرزه‌ای سازه بتنی طراحی شده طبق آئین نامه آبا و 2800
27	2-2-4- بررسی رفتار قاب فولادی دارای میانقاب آجری
38	3- 3D پانل
39	3-1- محسن
39	3-2- محدودیتها
40	3-3- فرضیات و مشخصات مدلسازی و بارگذاری
41	3-3-4- بررسی شکل پذیری قاب فولادی ترکیب شده با 3D پانل

43.....	نتیجه گیری 5-3-2
44	4-4- میانقاب با لایه لغزان 2
44.....	1-4-2 مشخصات نمونه ها
46.....	2-4-2 فیوز برشی لغزان
47.....	3-4-2 تاریخچه بارگذاری و تجهیز نمونه ها
47.....	4-4-2 نتایج حاصل از آزمایش نمونه های EIF-1 و EIF-2
50	5- سیستمهای درای وال (پانل گچی روکشدار با زیرسازی فلزی) 2
50.....	1-5-2 تاریخچه ساخت وساز خشک
50.....	2-5-2 ساختار سیستمهای درایوال
51.....	3-5-2 مزایا و توأمندیهای سیستم درای وال
52.....	4-5-2 تأثیر سبکسازی و نحوه عملکرد و رفتار پانلهای گچی در برابر زلزله
53.....	5-5-2 تحلیل دیوارهای پانل گچی در برابر نیروی زلزله عمود بر صفحه
56.....	6-5-2 نتایج
57	6-2 مروری بر ادبیات موضوع
57.....	1-6-2 تحقیقات آزمایشگاهی -تجربی
57.....	2-6-2 کارهای تحلیلی - عددی
58.....	3-6-2 ارزیابی رفتار لرزه ای سازه های دارای میانقاب
58.....	4-6-2 آزمایشهای انجام شده بر روی میانقابهای مصالح بنایی
59.....	5-6-2 ضوابط آئین نامه طراحی ساختمان در برابر زلزله در مورد تأثیر میانقابها
63.....	6-6-2 مدلسازی میانقابها
67	7-2 نتیجه گیری
68	3- روش تحقیق و معرفی میانقاب جدید
69	1-3 مقدمه
70	2-3 محسن
70.....	1-2-3 سبک بودن

70.....	2-2-3- انسجام و پیوستگی سیستم سازه‌ای
70.....	3-2-3- مقاومت در برابر زلزله و حوادث غیرمتربقه
70.....	4-2-3- سرعت در حمل و نقل و نصب پانلها
71.....	5-2-3- صرفه جویی در مصالح ساختمانی
71.....	6-2-3- صرفه جویی در مصرف انرژی
71.....	7-2-3- قابلیت ذخیره‌سازی برای حوادث غیرمتربقه
71.....	8-2-3- کاهش قیمت تمام شده در مقایسه با سیستمهای سنتی
72	3-3- محدودیتها
72	4-3- علت انتخاب روش
74.....	1-4-3- تحلیل استاتیکی غیرخطی (پوش اور)
75	5-3- روند مدل‌سازی
81.....	1-5-3- چرخه بارگذاری
82.....	2-5-3- مشخصات فولاد نرم ST12
82.....	3-5-3- مطابقت رفتاری مدل‌ها در نرم افزار

84	4- نتایج و تفسیر آنها
85	1-4- مقدمه
86	2-4- نحوه شکست قابها
86.....	1-2-4- مراحل شکست قاب 1
87.....	2-2-4- مراحل شکست قاب 2
89.....	3-2-4- مراحل شکست قاب 3
91.....	4-2-4- مراحل شکست قاب 4
93	3-4- تاثیر افزایش ضخامت بر مقاومت و شکل پذیری میانفابها
96	4-4- تاثیر تغییرات زوایای المانها بر مقاومت و شکل پذیری میانفابها
103	5-4- منحنی هیسترزیس میانفابها
104	1-5-4- منحنی هیسترزیس قابها برای ضخامت‌های مختلف

106	2-5-4- استهلاک انرژی برای قابها با ضخامت‌های متفاوت
107	3-5-4- منحنی هیسترزیس قابها برای زوایای مختلف
110	4-6- مقایسه رفتار الاستیک و الاستو پلاستیک قابها
112	4-7- مقایسه قابها با یکدیگر
112	4-7-1- مقایسه مقاومت و شکل پذیری
113	4-7-2- مقایسه سختی
114	4-7-3- مقایسه انرژی مستهلك شده
115	4-8- محاسبه ضریب رفتار از روی منحنی پوش آور
120	4-8-1- تعیین عوامل مؤثر بر ضریب رفتار برای قابها
123	4-9- زمان تناوب
124	5- جمع‌بندی و پیشنهادها
125	5-1- مقدمه
126	5-2- نتیجه گیری
127	5-3- نوآوری
127	5-4- پیشنهادها
129	مراجع
133	پیوست
134	پیوست الف
161	پیوست ب

فهرست اشکال

10	شكل 2-1- تحمل نیروهای جانبی توسط قاب با کنش خمی [1]
10	شكل 2-2- دیوار تحت بار جانبی خمیده شده، ترک در نقطه A [1]
11	شكل 2-3- نمودار نیرو - جابجایی [1]
13	شكل 2-4- سیستم بارگذاری، ابعاد (cm) و مشخصات نمونه ها [6]
14	شكل 2-5- تاریخچه بارگذاری نمونه ها [6]
15	شكل 2-6- منحنی تعییرات سختی در نمونه های مختلف [6]
15	شكل 2-7- پوش منحنی هیسترزیس در نمونه های مختلف [6]
16	شكل 2-8- منحنی اترزی هیسترزیس تجمعی در نمونه های مختلف [6]
17	شكل 2-9- ارتفاع، پلان و جزئیات آرماتوربندی ستونها در سازه های تحت بررسی [11]
18	شكل 2-10- طیف الاستیک و شتاب برای زلزله با دوره بازگشت 475 سال [11]
19	شكل 2-11- شکل مود اول قاب مرکب بدون بازشو [11]
19	شكل 2-12- شکل مود اول قاب مرکب بازشودار [11]
19	شكل 2-13- نمودار تنش فشاری قاب مرکب بدون بازشو در اثر تحلیل استاتیکی خطی بار زلزله [11]
19	شكل 2-14- نمودار تنش فشاری قاب مرکب بازشودار در اثر تحلیل استاتیکی خطی بار زلزله [11]
20	شكل 2-15- پلان سازه های نمونه [16]
21	شكل 2-16- چگونگی مدلسازی اعضاء قاب میان پر [18]
22	شكل 2-17- رفتار هر فنر غیرخطی برای مدلسازی میان قاب [18 و 22]
22	شكل 2-18- پوش رفتار فنر معادل میان قاب با آجر توپر [16]
23	شكل 2-19- پوش رفتار فنر معادل میان قاب با آجر سوراخدار [16]
24	شكل 2-20- زمان تناوب اصلی نوسان ساختمان های سه طبقه [16]
24	شكل 2-21- زمان تناوب اصلی نوسان ساختمان های شش طبقه [16]
25	شكل 2-22- حداکثر تغییر مکان ایجاد شده در هر طبقه از ساختمان سه طبقه [16]

..... 26	شكل 2-23- حداکثر تغییر مکان ایجاد شده در هر طبقه از ساختمان شش طبقه [16]
..... 28 شکل 2-24- نمونه عملکرد مرکب قاب - میانقاب در زلزله رودبار منجیل [26]
..... 28 شکل 2-25- نمونه عملکرد مرکب قاب - مهاربند - میانقاب در زلزله بم [28]
..... 30 شکل 2-26- نمای کلی سازه تحلیل شده [30]
..... 31 شکل 2-27- نمای کلی نصب تجهیزات اندازه گیری [30]
..... 31 شکل 2-28- نمای کلی قاب و مدل آزمایشگاهی [30]
..... 32 شکل 2-29- منحنی اطلاعات خروجی جک (Actuator)
..... 33 شکل 2-30- نمایی از مدل کامل شده و آماده آزمایش [30]
..... 33 شکل 2-31- نمایی بعد از آزمایش نمونه از طرف گچ کاری شده [30]
..... 33 شکل 2-32- منحنی اطلاعات خروجی جک [30]
..... 34 شکل 2-33- منحنی هیسترزیس دو آزمایش 1- قاب فولادی با مهاربند ضربدری بدون میانقاب
..... 39 شکل 2-34- دیوار پیش ساخته سبک 3D [34]
..... 40 شکل 2-35- ابعاد و مشخصات قاب مدلسازی شده [34]
..... 41 شکل 2-36- نمونه مدلسازی با نرم افزار [34]
..... 41 شکل 2-37- روند اعمال تغییر مکان به مدلها [34]
..... 42 شکل 2-38- پاسخ کلی سازه (ضریب برش پایه - تغییر مکان جانبی) [35]
..... 43 شکل 2-39- محاسبه ضریب شکل پذیری نمونه های فاصله دار عددی Perform [34]
..... 43 شکل 2-40- محاسبه ضریب شکل پذیری نمونه های فاصله دار آزمایشگاهی [34]
..... 45 شکل 2-41- مشخصات نمونه های میانقاب با لایه لغازان
..... 46 شکل 2-42- مشخصات فیوز برشی لغازان [38]
..... 47 شکل 2-43- بارگذاری نمونه ها [38]
..... 48 شکل 2-44- ترکهای مایل در میانقاب نمونه EIF-1 [38]
..... 48 شکل 2-45- مودهای خرابی نمونه های EIF-1 و EIF-2 [38]

..... شکل 2-46- نمودار رفتار چرخه ای نمونه های EIF-1 و EIF-2	49
..... شکل 2-47- نمودارهای پوش نمونه ها [38]	49
..... شکل 2-48- میزان افزایش نیروی برش پایه بعلت وجود میانقاب [16]	62
..... شکل 2-49- نمایش توزیع نیروهای اندر کنشی بین قاب و میانقاب [16]	54
..... شکل 2-50- نمایش پوش رفتار فنر طولی [16]	66
..... شکل 1-3- روند محاسبه ماتریس بارهای اعمالی، سختی و تغییر مکان ها در هر مرحله از تحلیل [62]	74
..... شکل 2-3- کلیت قابها و نحوه قرار گیری المانها	76
..... شکل 3-3- هندسه یکی از مدل های تحلیلی	77
..... شکل 3-4- جهت قرار گیری المان های ناوданی	77
..... شکل 3-5- ابعاد و مشخصات مدل های تحلیلی (سانتیمتر)	79
..... شکل 3-6- چرخه بارگذاری رفت و برگشتی بر اساس آین نامه ATC24	81
..... شکل 3-7- نحوه تعریف متریال Steel02	82
..... شکل 3-8- مطابقت رفتاری دو نقطه از المان های قاب 1	83
..... شکل 4-1- نحوه شکست قاب 1 و نمودار پوش آور در ضخامت 0.6 میلیمتر و زاویه 45 درجه	86
..... شکل 4-2- نحوه شکست قاب 2 و نمودار پوش آور در ضخامت 0.6 میلیمتر و زاویه 45 درجه	88
..... شکل 4-3- نحوه شکست قاب 3 و نمودار پوش آور در ضخامت 0.6 میلیمتر و زاویه 45 درجه	90
..... شکل 4-4- نحوه شکست قاب 4 و نمودار پوش آور در ضخامت 0.6 میلیمتر و زاویه 45 درجه	92
..... شکل 4-5- نمودار پوش آور قابها با ضخامت های 0.6 و 0.8 میلیمتر و زاویه 45 درجه	94
..... شکل 4-6- مقایسه مقاومت ماکریم قابهای 1 و 2 و 3 و 4	95
..... شکل 4-7- میانقاب 1 در زاویه 30 و 60 درجه	96
..... شکل 4-8- میانقاب 2 در زاویه 30 و 60 درجه	97
..... شکل 4-9- میانقاب 3 در زاویه 30 و 60 درجه	98
..... شکل 4-10- میانقاب 4 در زاویه 30 و 60 درجه	99

- شکل 11-4- نمودار پوش آور قابها در زوایای 30, 45 و 60 درجه برای ضخامت 0.6 میلیمتر 101
- شکل 12-4- نمودار پوش آور قابها با نسبت ابعادی برابر 102
- شکل 13-4- رفتار هیسترزیس مختلف قابها [63] 103
- شکل 14-4- نمودار هیسترزیس قابها برای ضخامت‌های 0.6 و 0.8 میلیمتر و زاویه 45 درجه 105
- شکل 15-4- نمودار انرژی هیسترزیس قابها برای ضخامت‌های 0.6 و 0.8 میلیمتر با زاویه 45 درجه 107
- شکل 16-4- نمودارهای هیسترزیس قابها برای زوایای 30, 45 و 60 درجه با ضخامت 0.6 میلیمتر 109
- شکل 17-4- سطح زیر منحنی نیرو - تغییر مکان در رفتار الاستیک و الاستوپلاستیک 111
- شکل 18-4- نمودار پوش آور قاب 1 و 2 و 3 و 4 با ضخامت 0.6 میلیمتر و زاویه 45 درجه 113
- شکل 19-4- نمودار زوال سختی قاب 1 و 2 و 3 و 4 با ضخامت 0.6 میلیمتر و زاویه 45 درجه 114
- شکل 20-4- منحنی انرژی هیسترزیس تجمعی در نمونه‌های مختلف با ضخامت 0.6 میلیمتر 115
- شکل 21-4- رفتار کلی یک سازه متعارف [65] 117
- شکل 22-4- منحنی پوش اور و مدل رفتار دو خطی [66] 117
- شکل 23-4- نمودار پوش و دو خطی قاب‌ها با استفاده از روش اول 118
- شکل 24-4- نمودار پوش و دو خطی قاب‌ها با استفاده از روش دوم 119

فهرست جداول

جدول 2-1- تغییرات زمان تناوب در نمونه‌های مختلف 16
جدول 2-2- نتایج زمان تناوب حاصل از تحلیل سازه‌های تحت بررسی 18
جدول 2-3- حالت‌های مختلف سازه به لحاظ وجود میانقاب 23
جدول 2-4- روش‌های تحلیل مورد استفاده جهت ارزیابی سازه‌ها 23
جدول 2-5- مقادیر حداکثر برش پایه و تغییر مکان بام حاصل از نتایج تحلیل دینامیکی غیرخطی 26
جدول 2-6- نتایج بدست آمده 32
جدول 2-7- نتایج بدست آمده 34
جدول 2-8- سختی نمونه‌های مورد آزمایش 35
جدول 2-9- نتایج تئوری و آزمایشگاهی 37
جدول 2-10- مقایسه ضریب شکل پذیری نمونه‌ها 43
جدول 2-11- مشخصات قاب واقعی و مقیاس شده 45
جدول 2-12- اطلاعات و نتایج حاصل از آزمایش نمونه 48
2-13- ترکیب‌های اتصالات دیوار به سقف، کف و قسمتهای جانبی 53
جدول 2-14- تغییر مکان و لنگر بیشینه پانل گچی تحت زلزله برای دیوار به ارتفاع 2/5 و طول 3 متر 54
جدول 2-15- تغییر مکان و لنگر بیشینه پانل گچی تحت زلزله برای دیوار به ارتفاع 2/5 و طول 12 متر 55
جدول 2-16- مقادیر H_{min} و H_{max} بر حسب متر برای انواع زمین 62
جدول 3-1- ابعاد و مشخصات مدل‌های تحلیلی 75
جدول 3-2- مشخصات قاب اصلی مدلها 75
جدول 4-1- نسبت طول به ارتفاع قابها در زوایای مختلف 102
جدول 4-2- انرژی تلف شده قابها در زوایای مختلف با ضخامت 0.6 میلیمتر 109
جدول 4-3- ضریب رفتار قابها برای ضخامت 0/6 میلیمتر و زاویه 45 درجه در روش اول 121

- جدول 4-4- ضریب رفتار قابها برای ضخامت 0/8 میلیمتر و زاویه 45 درجه در روش اول..... 121
- جدول 4-5- ضریب رفتار قابها برای ضخامت 0/6 میلیمتر و زاویه 45 درجه در روش دوم..... 122
- جدول 4-6- ضریب رفتار قابها برای ضخامت 0/8 میلیمتر و زاویه 45 درجه در روش دوم..... 122
- جدول 4-7- میزان تغییر ضریب رفتار در قابها با تغییر ضخامت از 0.6 به 0.8 میلیمتر..... 122
- جدول 4-8- میزان اختلاف بین دو روش برای قابهای با ضخامت 0.6 و 0.8 میلیمتر..... 123

فهرست علائم اختصاری

$(ton) H$	مقاومت قاب مهاربندی شده به همراه میانقاب
$(ton) H_{cc}$	مقاومت شکست کنچ
$(ton) H_b$	مقاومت مجاز قاب مهاربندی
θ (درجه)	زاویه بین قطر قاب و افق
$(T.m) M_{pb}, M_{pc}, M_{pj}$	لنگر پلاستیک اتصال و ستون و تیر
$(t/m^2) f_m$	مقاومت فشاری مصالح میانقاب
$(m) h$	ارتفاع میانقاب
$(m) t$	ضخامت میانقاب
$(m) d$	طول قطر دیوار
$(kg/cm) k$	سختی قاب معادل
$(cm^2) A_b$	سطح مقطع میانقاب معادل مهاربند
$(cm^2) A$	سطح مقطع کل مهاربند و میانقاب معادل
$(kg/cm^2) E$	ضریب کشسانی فولاد
$(mm) \Delta_{max}$	تغییر مکان ماکریم
$(mm) \Delta_y$	تغییر مکان حد تسلیم
μ	ضریب شکل پذیری
I	ضریب اهمیت ساختمان
$(ton) W_p$	وزن دیوار
$(ton) V$	ضریب برش پایه
C	ضریب زلزله
$(ton) W$	وزن سازه